

Авторы выражают благодарность Российскому фонду фундаментальных исследований за финансовую поддержку данного исследования в рамках гранта № 94-02-05867. Исследование, представленное в данной публикации, частично финансировано Международным научным фондом (грант N RFR000).

Список литературы

- [1] Лифшиц И.М., Пушкаров Х. Письма в ЖЭТФ **11**, 9, 456 (1970).
- [2] Косевич А.М. ФНТ **4**, 7, 902 (1978).
- [3] Воронов В.П., Косевич А.М. ФНТ **6**, 3, 371 (1980).
- [4] Молоцкий М.И., Ростовцев В.С. ФТТ **24**, 9, 2564 (1982).
- [5] Варданян Р.А., Киракосян Г.Г., Кравченко В.Я. ФТТ **30**, 12, 3565 (1988).
- [6] Гольдфарб М.В., Молоцкий М.И., Шмурек С.З. ФТТ **32**, 8, 2398 (1990).
- [7] Шикин В.Б., Шикина Н.И. ФТТ **30**, 5, 1297 (1988).
- [8] Кусов А.А., Клингер М.И., Закревский В.А. ФТТ **31**, 7, 67 (1989).
- [9] Колюбякин А.И., Осипьян Ю.А., Шевченко С.А. ЖЭТФ **77**, 3(9), 975 (1979).
- [10] Колюбякин А.И., Осипьян Ю.А., Шевченко С.А. ЖЭТФ **93**, 7, 248 (1987).
- [11] Гончаров В.А., Осипьян Ю.А., Шевченко С.А. ФТТ **29**, 7, 1928 (1987).
- [12] Кадич А., Эделен Д. Калибровочная теория дислокаций и дисклиниаций. М. (1987). 168 с.
- [13] Osipov V.A. Physica **A175**, 369 (1991).
- [14] Osipov V.A. J. Phys. A: Math. Gen. **26**, 1375 (1993).
- [15] Osipov V.A. Phys. Lett. **A193**, 1, 97 (1994).
- [16] Владимиров В.И., Романов А.Е. Дисклиниация в кристаллах. Л. (1986). 223 с.

УДК 631.315.592

© Физика твердого тела, том 37, № 9, 1995
Solid State Physics, vol. 37, N 9, 1995

О НЕПАРАБОЛИЧНОСТИ СПЕКТРА ЭЛЕКТРОНОВ В Bi_2Te_3 И В ТВЕРДОМ РАСТВОРЕ $\text{Bi}_2\text{Te}_{2.7}\text{Se}_{0.3}$

С.А.Алиев, Ш.С.Исмаилов, И.Г.Тагиев

Институт физики академии наук Азербайджана,

370143, Баку, Азербайджан

(Поступило в Редакцию 23 июня 1994 г.

В окончательной редакции 15 марта 1995 г.)

В работе [1] теоретически рассмотрено взаимодействие зоны проводимости с валентной зоной в узкозонных полупроводниках с экстремумами, смещенными в k -пространстве (Bi_2Te_3 и его аналоги), и показано, что оно приводит к непарараболичности зон. Однако в отличие от кейновского спектра, справедливого для узкозонных полупроводников с экстремумами, расположенными в одних и тех же симметричных точках зоны Бриллюэна, в этом случае появляются нечетные по k -члены, начиная с кубического. В [2] нами сообщалось о непарараболичности зоны проводимости Bi_2Te_3 .

В данной работе анализируются результаты по исследованию концентрационных и температурных зависимостей эффективных масс электронов Bi_2Te_3 и твердого раствора $\text{Bi}_2\text{Te}_{2.7}\text{Se}_{0.3}$. Проведено комплексное исследование термоэлектрических и терромагнитных

свойств Bi_2Te_3 и $\text{Bi}_{2-x}\text{Te}_{2.7}\text{Se}_{0.3}$ в интервале температур 80–300 К с концентрациями $n = (0.6 \div 9.0) \cdot 10^{19} \text{ см}^{-3}$ и $(1.0 \div 12.7) \cdot 10^{19} \text{ см}^{-3}$ соответственно. Образцы с высокой концентрацией были получены легированием стехиометрических составов до 0.1 mol. % CdCl_2 .

На основании измерений эффекта Холла R , электропроводности σ , термоэдс α , магнитотермоэдс $\Delta\alpha$ и поперечного эффекта Нернста–Эттинггаузена Q_\perp по известной методике определена эффективная масса плотности состояний на дне зоны проводимости $m_{d_0}^*$ и на уровне Ферми m_d^* .

На рис. 1 представлена температурная (*a*) и концентрационная (*b*) зависимости эффективной массы m_d^*/m_0 . Как видно, в Bi_2Te_3 $m_{d_0}^*$ от температуры почти не зависит. Концентрационная зависимость $m_d^*(n)$ в представленных координатах $((m_d^*/m_0)^2, n^{2/3})$ имеет линейный ход. По данным $m_d^*(n)$ методом экстраполяции ($n \rightarrow 0$) определены эффективная масса на дне зоны проводимости ($m_{d_0}^* = 0.32m_0$) и ширина запрещенной зоны ($\varepsilon_g = 0.15 \text{ eV}$). Их этих данных следует, что температурные зависимости $m_d^*/m_0(T)$ и $m_{d_0}^*/m_0(T)$ в Bi_2Te_3 обусловлены постоянством $\varepsilon_g(T)$.

В [3] с помощью исследования тензоров электропроводности и гальваномагнитных коэффициентов определены отношения m_1/m_2 , m_1/m_3 и m_2/m_3 при различных концентрациях. Совместное использование этих данных с нашими результатами позволило вычислить составляющие эффективных масс для каждого эллипсоида. В частности, для образца с $n = 1.5 \cdot 10^{19} \text{ см}^{-3}$ получено $m_3/m_2 = 0.239$, $m_1/m_3 = 0.236$, $m_1/m_2 = 0.056$, $m_d = 0.512m_0$.

Используя эти значения в $m_d = N^{2/3}(m_1 m_2 m_3)^{1/3}$, выражая m_1 , m_2 через m_3 , мы получили $m_3 = 0.155m_0$, $m_2 = 0.648m_0$ и $m_1 = 0.037m_0$. Для образцов с $n = 2.1 \cdot 10^{19} \text{ см}^{-3}$ $m_3 = 0.165m_0$, $m_2 = 0.676m_0$, $m_1 = 0.036m_0$.

Идентичные исследования проведены и для твердого раствора $n\text{-Bi}_2\text{Te}_{2.7}\text{Se}_{0.3}$. Результаты представлены на рис. 2 в виде температурных и концентрационных зависимостей. Как видно, в твердом растворе в отличие от Bi_2Te_3 эффективная масса с температурой слегка растет, причем это наиболее заметно в образцах с высокой концентрацией. Концентрационная зависимость в представленных координатах также имеет линейный ход. Для сравнения на этом рисунке приведены и данные для Bi_2Te_3 . Очевиден и тот факт, что эффективная масса на уровне Ферми независимо от уровня заполнения зоны проводимости в твердом растворе значительно больше, чем в Bi_2Te_3 .

Из данных $m_d^*(n)$ определены температурные зависимости эффективной массы на дне зоны проводимости и ширины запрещенной зоны. Получено, что в системе Bi–Te–Se с увеличением содержания Se в твердом растворе возрастает ширина запрещенной зоны ε_g , причем она слегка увеличивается с температурой, что и приводит к соответствующим изменениям $m_{d_0}^*(T)$ и $m_d^*(T)$. Это является одной из причин возрастаания термоэлектрической эффективности z в твердых растворах $\text{Bi}_2\text{Te}_{2-x}\text{Se}_x$.

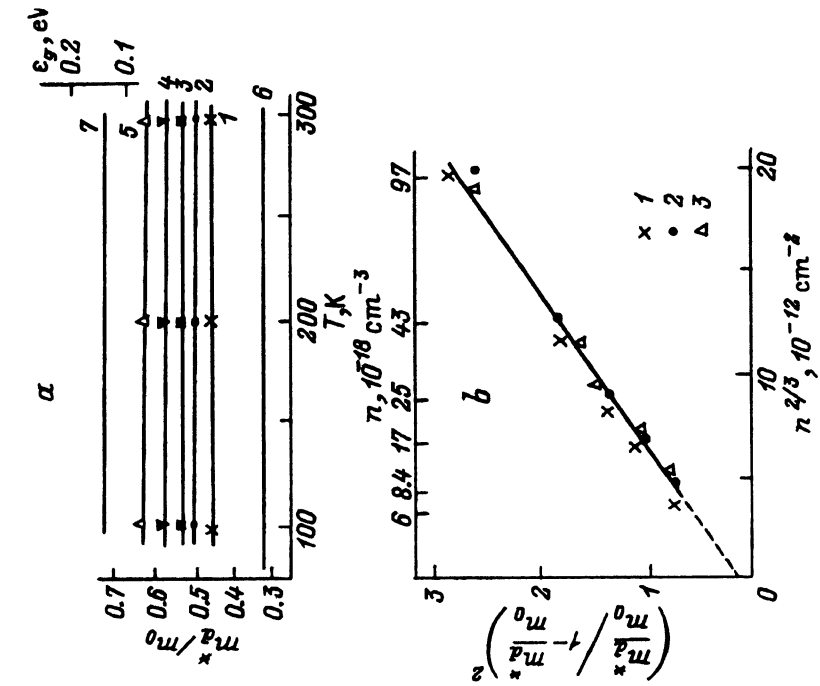


Рис. 1. Температурные (а) и концентрационные (б) зависимости эффективной массы носителей заряда в Bi_2Te_3 .
 а) $n (10^{18} \text{ см}^{-3})$: 1 — 7,5, 2 — 16, 3 — 25, 4 — 43, 5 — 87,
 $b = m^*/m_{d_0}$; б) $T (\text{K})$: 1 — 100, 2 — 200, 3 — 300.

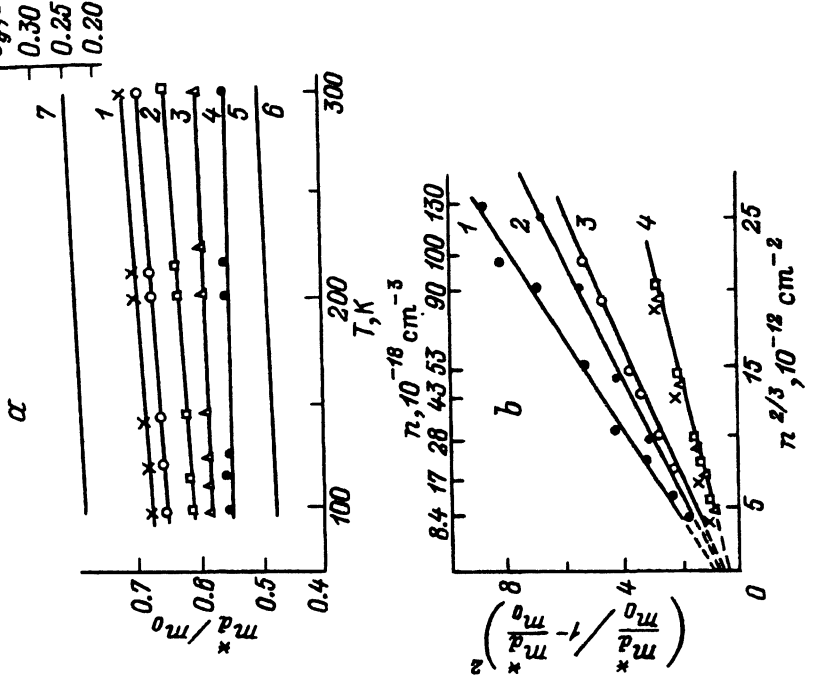


Рис. 2. Температурные (а) и концентрационные (б) зависимости концентрации носителей заряда в Bi_2Te_3 и $\text{Bi}_2\text{Te}_{2.7}\text{Se}_{0.3}$.
 а) $n (10^{-18} \text{ см}^{-3})$: 1 — 12.7, 2 — 10.3, 3 — 9, 4 — 5.3, 5 — 2.8,
 $b = n^{2/3} \cdot 10^{-12} \text{ см}^{-2}$; б) $T (\text{K})$: 1 — 300, 2 — 200, 3 — 100; 4 — Bi_2Te_3 ,
 $6 — m^*/m_{d_0}$; 7 — ϵ_g .

В [4] подробно обсуждается зависимость z от эффективной массы. Для этого вводится параметр $\mu_0(\frac{m^*}{m_0})^{3/2}$ (μ_0 — подвижность), зависящий от механизма рассеяния и эффективной массы. Показано, что в приближении квадратичного закона дисперсии и рассеяния электронов на акустических фонах $z \sim (\frac{m^*}{m_0})^{-1}$. Однако учет непарараболичности спектра приводит к существенному изменению параметра $\mu_0(\frac{m^*}{m_0})^{3/2}$ и вывода о механизме рассеяния. Так, в случае непарараболичного спектра при рассеянии на акустических фонах $\mu_0(\frac{m^*}{m_0})^{3/2}$ от эффективной массы не зависит, а в случае рассеяния на полярных оптических и пьезоакустических фонах $\mu_0(\frac{m^*}{m_0})^{3/2} \sim (\frac{m^*}{m_0})^{1/2}$ [5]. В [6] показано, что в твердых растворах Bi–Te–Se в интервале температур 100–300 К данные о подвижности $\mu_0(T, n)$, термоэдс $\alpha(T, n)$, продольном $\Delta\alpha(n, T)$ и поперечном $\varepsilon_g(T, n)$ термомагнитных эффектах с учетом непарараболичности зоны проводимости хорошо описываются при рассеянии на полярных оптических фонах.

Вызывают интерес температурные зависимости $m_d^*(T)$, $m_{d_0}(T)$ и $\varepsilon_g(T)$. Ранее аналогичные исследования были проведены для узкозонных полупроводников HgSe, CdHgTe, Ag₂Te с кейновским законом дисперсии [7–9]. Во всех случаях было обнаружено уменьшение m^* и ε_g с температурой. Данные о температурной зависимости m^* и ε_g в твердых растворах на основе теллурида висмута обсуждаются в [10, 11]. Увеличение эффективной массы с ростом температуры наблюдалось в твердых растворах Bi₂Te_{3-x}Se_x [10]. В [11] по данным температурной зависимости электропроводности и коэффициента термоэдс в приближении квадратичного закона дисперсии и рассеяния на акустических фонах определена $m^*(T)$. Показано, что рост m^* с температурой при увеличении состава (x) сначала ослабевает, а затем m^* уменьшается с увеличением T . Предполагается, что при этом взаимодействие носителей заряда с фононами вызывает уменьшение ширины запрещенной зоны и связанной с ней эффективной массы, а возможная непарараболичность закона дисперсии — увеличение усредненной по энергии эффективной массы с температурой. В настоящей работе m^* определялась по данным R_∞ и α_∞ при классически сильном магнитном поле, обуславливающем независимость их от механизма рассеяния. Расчет проводился по формулам, справедливым при неквадратичном законе дисперсии. Как видно из рис. 2, в данном случае нет даже тенденции к изменению наклона $m^*(T)$. Возрастание $m^*(T)$ можно было бы объяснить, как и в [11], действием сильной непарараболичности. Однако хорошо известно, что в узкозонных полупроводниках между эффективной массой и шириной запрещенной зоны имеется прямая связь [12]. Этот вопрос подробно анализирован в [12] на примере халькогенидов свинца. Показано, что положительные температурные коэффициенты ширины запрещенной зоны и эффективных масс в халькогенидах свинца обусловлены тепловым расширением решетки и взаимодействием носителей заряда с фононами, если при этом взаимодействие валентной зоны и зоны проводимости вносит существенный вклад в ε_g . Для выявления превалирующего механизма температурной зависимости $\varepsilon_g(T)$ и $m^*(T)$ в твердых растворах BiTeSe необходимы дополнительные данные о сжимаемости, коэффициенте линейного расширения, о влиянии давления на ε_g и m^* .

Как известно, в случае непарараболичной зоны выявление энергетического спектра можно провести из анализа концентрационной зависимости $t(n)$. Из вышеприведенных экспериментальных данных нам не удалось выделить разницу между кейновской моделью и моделью, изложенной в [1]. Прежде всего это обусловлено тем, что эффективная масса, определенная по данной методике, является усредненной массой плотности состояний и тем, что по мере заполнения зоны анизотропия кинетических коэффициентов исчезает. Действительно, анизотропия проводимости, определенная по методике, изложенной в [1], при концентрациях $n \geq 1 \cdot 10^{19}$ см⁻³ оказалась ничтожно малой. Измерения R и α в двух кристаллографических направлениях также не обнаружили анизотропии этих величин. Можно полагать, что при сильном заполнении зоны проводимости не только исчезает анизотропия кинетических коэффициентов, но несущественно отличаются энергетические спектры предложенного в [1] и кейновского типов. Для выявления тонкой структуры спектра необходимо получить данные о концентрационной зависимости составляющих тензора эффективной массы.

Из полученных нами данных однозначно следует, что действительна зона проводимости Bi_2Te_3 и твердого раствора $\text{Bi}_2\text{Te}_{2.7}\text{Se}_{0.3}$ непарараболична, закон дисперсии, оцененной по концентрационной зависимости эффективной массы плотности состояний, близок к кейновскому.

Список литературы

- [1] Грязнов О.С., Игнатьев Р.Н., Мойжес Б.Я. ФТП **17**, 6, 1138 (1983).
- [2] Алиев С.А., Каҳраманов К.Ш., Исмаилов Ш.С., Селимзаде Р.И. Деп. в ВИНИТИ, рег. № 1170-1183:
- [3] Schöder B., von Middendorff A., Köhler H., Landwehr G. Phys. Stat. Sol. (b) **59**, 561 (1973).
- [4] Гольцман Б.М., Кудинов В.А., Смирнов И.А. Полупроводниковые термоэлектрические материалы на основе Bi_2Te_3 . М. (1972). 402 с.
- [5] Аскеров Б.М. Электронные явления переноса в полупроводниках. М. (1985). 301 с.
- [6] Алиев С.А., Каҳраманов К.Ш., Исмаилов Ш.С., Агаев А.М. Деп. в ВИНИТИ, рег. № 508-84.
- [7] Алиев С.А., Коренблит Л.Л., Шалыт С.С. ФТТ **7**, 6, 974 (1965).
- [8] Алиев С.А., Гаджиев Т.Г., Алиев Э.М., Алиев М.И. Изв. АН АзССР. Сер. физ.-техн. и мат. наук, 6, 83 (1969).
- [9] Алиев С.А., Суюнов У.Х., Алиев М.И. Изв. АН АзССР. Сер. физ.-техн. и мат. наук, 1, 63 (1973).
- [10] Beckmann O., Bergvall P., Tripathi K. Ark. Fys. **28**, 3, 215 (1965).
- [11] Гольцман Б.М., Иконникова Г.Н., Кутасов В.А., Равич Ю.И. ФТТ **27**, 2, 542 (1985).
- [12] Равич Ю.А., Ефимова Б.А., Смирнов И.А. Методы исследования полупроводников в применении к халькогенидам свинца PbTe, PbSe, PbS. М.(1968). 351 с.